

ОСОБЕННОСТИ СВОЙСТВ ТОНКИХ ПЛЕНОК РАЗБАВЛЕННЫХ ТВЕРДЫХ РАСТВОРОВ НА ОСНОВЕ ЖЕЛЕЗА И НИКЕЛЯ

© 2004 г. Ю.П. Афиногенов, Е.Г. Гончаров, В.Н. Ховив, Е.Н. Ветрова, Т.А. Мячина

Воронежский государственный университет

В работе представлены результаты термического оксидирования тонкопленочных железо-никелиевых твердых растворов вблизи чистых компонентов, как со стороны железа, так и со стороны никеля, полученных методом магнетронного напыления на пластины монокристаллического кремния. Показано, что на монотонно изменяющихся зависимостях состав-свойство появляются особые (аномальные) точки, выраженные в виде экстремумов. Для системы Fe-Ni и Ni-Fe такая точка соответствует содержанию легируемого металла около 1 ат.%. Предполагается, в данных областях, образование более совершенных по составу оксидов железа и никеля, которые изначально обладают дефицитом металла (Fe_3O_4 , FeO , NiO) или кислорода (Fe_2O_3). При окислении Ni-Fe обнаружены также совместные соединения этих металлов, такие как NiFe и NiFe_3 .

ВВЕДЕНИЕ

В настоящее время построение диаграмм состав-свойство используется во многих разделах неорганической химии и химической технологии, в материаловедении при создании новых материалов с заранее заданными свойствами (жаропрочных, сверхпроводниковых, магнитных и др. материалов)[1].

Не всегда зависимости состав-свойство носят монотонный характер, иногда на них появляются экстремальные (особые, аномальные) точки. Для целого ряда бинарных систем в массивном состоянии они были обнаружены в 70-80 гг. прошлого века. Но в связи с возросшим интересом за последнее десятилетие к тонкопленочным твердым растворам интересно знать имеет ли в них место аномальное поведение некоторых характеристик металлов вблизи чистых компонентов.

Наиболее изученной за последнее время системой, отвечающей всем вышеперечисленным требованиям, является Cu-Ni [2,3].

В данной работе представлены результаты по изучению тонкопленочных твердых растворов Fe-Ni как вблизи железа, так и вблизи никеля, для которой также обнаружено проявление некоторых аномальных свойств.

МЕТОДИКА ПРОВЕДЕНИЯ ЭКСПЕРИМЕНТА

Осаждение исследуемых пленок осуществляли в вакуумной установке магнетронным методом напыления, принципы которого изложены в ра-

ботах [4,5]. Этот метод позволяет в широких пределах варьировать толщину, состав и структуру напыляемых материалов, условия их взаимодействия с подложкой и между собой. Осаджение железа и никеля производили из составной мишени на пластины монокристаллического кремния *n*-типа проводимости марки ЭКЭФ с удельным со-противлением 20 Ом·см и кристаллографической ориентацией (100), со слоем естественного оксида толщиной 2-5 нм. Высокосовершенная поверхность подложки (14 класс полировки) необходима для получения качественных тонкопленочных планарных структур, что позволяет использовать тонкие оптические методы (например, эллипсометрию[6,7]) для изучения различных процессов, протекающих в ходе химической модификации исходных материалов. Технологические параметры напыления представлены в табл.1. Перед процессом напыления вакуумная камера откачивалась диффузионным насосом до остаточного давления $0,33 \cdot 10^{-2}$ Па. Разряд возбуждался в аргоне марки ВЧ при давлении P_{Ar} . Толщина исходных металлических пленок задавалась током разряда I_p и временем напыления t при скорости осаждения V_{oc} .

Полученные образцы имели зеркальную поверхность и являлись однородными по составу на всей поверхности, что было подтверждено эллипсометрическими измерениями. Пластины до окисления, с целью предотвращения оседания частиц пыли, хранились в закрытых боксах в вертикальном положении.

Таблица 1.

Режимы напыления тонкопленочных структур Fe-Ni и Ni-Fe

Технологические параметры напыления	Fe-Ni	Ni-Fe
I_p, A	0,5	0,5
U_p, V	500	470
P_{Ar}, Pa	$133,32 \cdot 10^{-3}$	$199,98 \cdot 10^{-3}$
$V_{Oc}, nm/min$	37,5	50
t, min	26,7	20

Далее определяли точное процентное содержание каждого металла в образце (количественный анализ) с помощью сканирующего рентгеновского микроанализатора JXA-840. Этот прибор позволяет получать результаты с точностью до 0,01 ат.%. Изученный состав пленок лежал в диапазоне 0,1-7 ат.% каждого металла для соответствующей системы.

Окисление проводили в печи резистивного нагрева при постоянном подаче кислорода со скоростью 40 л/час. Температурные интервалы составили 150-350 °C, для системы Fe-Ni и 250-500 °C для Ni-Fe, время окисления составило для всех образцов 5-90 мин.

ОСНОВНЫЕ РЕЗУЛЬТАТЫ И ИХ ОБСУЖДЕНИЕ

На основании эллипсометрических данных были определены оптические параметры исходных (неокисленных) образцов. Определение оптических параметров исходных образцов необходимо

для расчета толщины пленок после окисления. Коэффициенты преломления (n), коэффициенты экстинкции (k) подложки и пленок, а также толщины этих пленок определялись путем решения обратной задачи эллипсометрии [8].

При изучении таких характеристик пленок Fe-Ni и Ni-Fe как n , k , энергия активации процесса оксидирования, толщины окисленной пленки, скорости оксидирования от состава наблюдается их немонотонное изменение, выраженное на зависимостях состав-свойство появлениею экстремума вблизи чистого компонента.

1. Обнаружение аномальных свойств системы Fe-Ni

В результате измерения оптических параметров тонкопленочных твердых растворов Fe-Ni были получены их зависимости от содержания никеля в пленках железа (рис.1а). Из данной зависимости видно, что экстремальная точка соответствует содержанию никеля около 1 ат.%. Аналогичный локальный минимум наблюдается и на зависимости толщины оксидной пленки от соста-

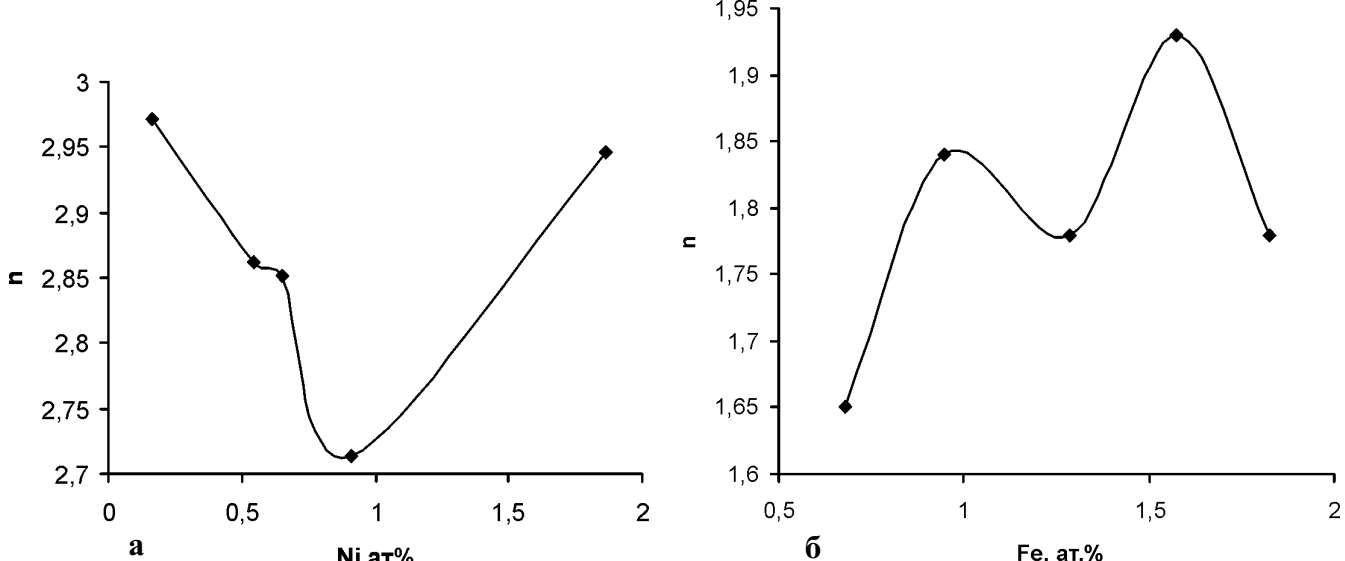
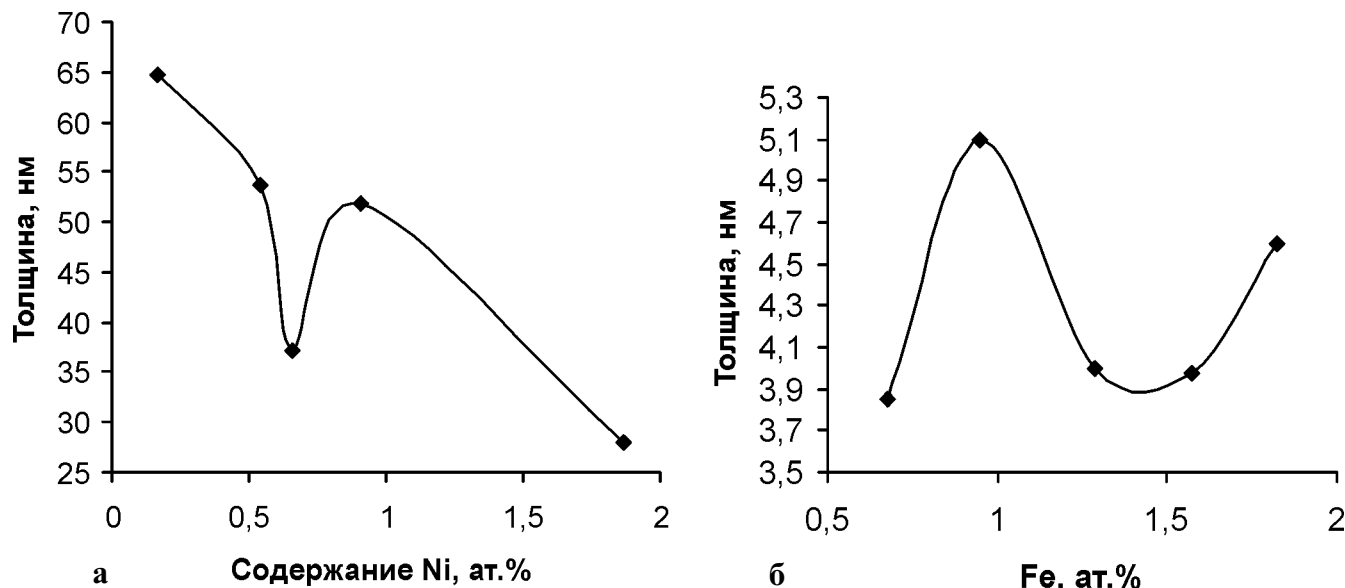


Рис. 1. Зависимость n от концентрации легирующего металла для тонкопленочных твердых растворов:
а) Fe-Ni; б) Ni-Fe



ва (рис.2а). Причем по мере увеличения содержания никеля в образцах (для одного времени окисления при одной и той же температуре) толщина оксидного слоя уменьшается, следовательно, уменьшается и скорость окисления. Это хорошо согласуется с известной вакансационной моделью окисления металлов, согласно которой, скорость окисления процесса замедляется, если примесь (Ni^{2+}) имеет степень окисления меньше чем основной материал (Fe^{3+})[9]. Таким образом, введение небольшой добавки никеля, способствует “заличиванию” вакансий и препятствует диффузии ионов железа к фронту реакции. Фазовый состав

окисленных пленок Fe-Ni представлен оксидами железа (III) различной модификации и оксидом Fe_3O_4 . При изучении кинетики окисления поленок Fe-Ni была рассчитана также энергия активации процесса окисления (рис.3а).

2. Обнаружение аномальных свойств системы Ni-Fe

Проведя для тонких пленок Ni-Fe аналогичный эксперимент, что и для Fe-Ni, также были обнаружены экстремум вблизи чистого компонента (никель) на зависимостях состав-свойство. В данном случае аномальная точка соответствует содержанию железа 0,95ат.%. В отличие от предыдущей системы Fe-Ni, имеющей локальный минимум на

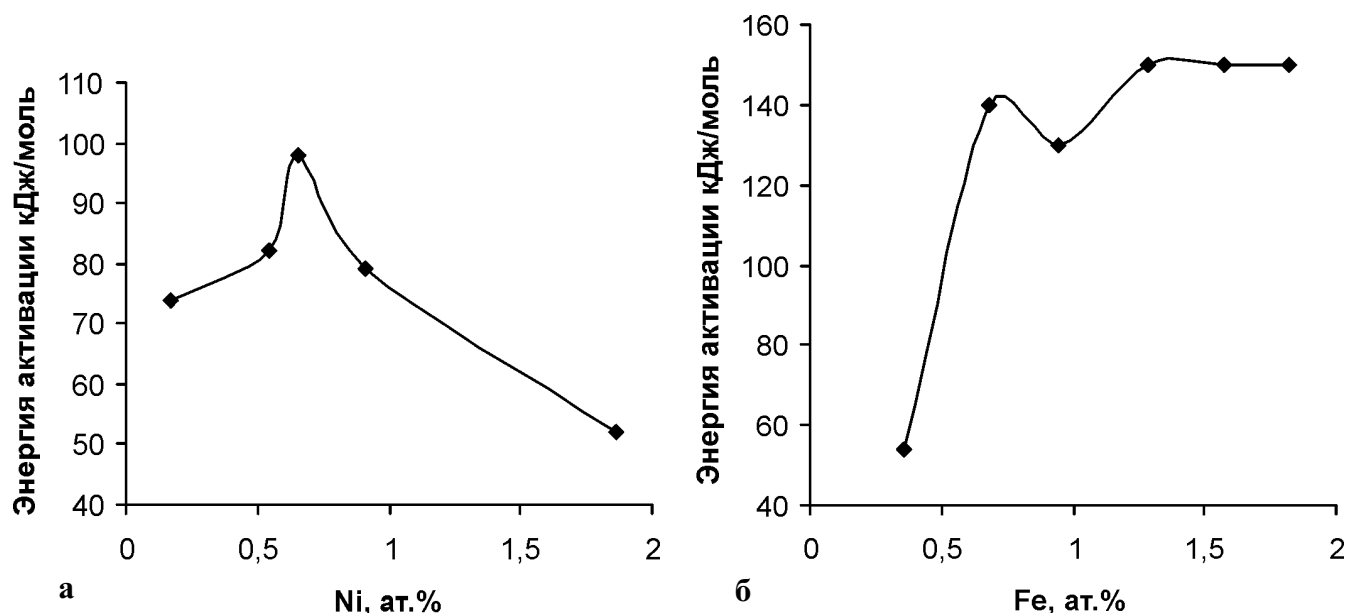


Рис. 3. Зависимость энергии активации от концентрации примеси: а) система Fe-Ni; б) система Ni-Fe

зависимости оптических параметров от состава, тонкие пленки Ni-Fe характеризуются появлением максимума на аналогичной зависимости (рис.1б). С увеличением концентрации железа в пленках Ni-Fe скорость окисления увеличивается, о чем свидетельствует увеличение толщины оксидной пленки для одного времени окисления при одной и той же температуре (рис.2б). В этом случае степень окисления основного материала (Ni^{2+}) меньше, чем вводимой в него примеси (Fe^{3+}) и согласно модели окисления металлов по вакансационному механизму это должно привести к увеличению скорости процесса окисления, что и наблюдалось в ходе эксперимента. Рентгенофазовый анализ показал, что фазовый состав окисленных пленок Ni-Fe более разнообразен, чем Fe-Ni: наряду с оксидами железа здесь присутствуют оксиды никеля состава NiO и Ni_2O_3 , а также совместные соединения железа с никелем NiFe_3 , NiFe . Интересно, что в окисленной пленке аномального состава не обнаружено никаких оксидов никеля, а на дифрактограммах пленок с содержанием железа 1,57ат.% самый высокий пик уже относится не к никелю, а к NiFe_3 , предположительно, поэтому и возникает второй пик на зависимостях состав-свойство при этой концентрации. На рис.3б представлена зависимость от состава энергии активации, на которой также есть экстремум, имеющий противоположное направление по сравнению с аналогичной кривой для системы Fe-Ni (рис.3а).

3. Объяснение аномалий

Введение примесных атомов в матрицу основного вещества приводит к их взаимодействию между собой с образованием преципитатов и кластеров. Это возможно при достижении высоких концентраций легирующей примеси (~1-2ат.%), когда ее атомы находятся на достаточно близком расстоянии друг от друга.

Присутствие примесных кластеров в пленочной железо-никелиевой системе может приводить к аномалиям различных свойств металла по сравнению с его нелегированным состоянием. Следует отметить, что при увеличении уровня концентрации примеси выше того минимального предела, при котором начинает наблюдаться кластеризация, количество кластеров, а, следовательно, и примесных атомов, захваченных в кластеры, возрастает, что должно привести к более яркому проявлению аномальных свойств. Однако при дальнейшем увеличении концентрации примеси ее атомы, как свободные, так и находящиеся в кластерах, с большей вероятностью могут замещать атомы основного компонента в узлах решетки основ-

ного вещества. Этот процесс приводит к прекращению формирования кластеров примесных атомов. Вслед за этим следует наблюдать и снижение количественных характеристик аномальных свойств с ростом концентрации примеси.

Состав ни одного из трех известных оксидов железа (Fe_3O_4 , FeO , Fe_2O_3) не соответствует стехиометрическому (для первых двух оксидов характерен дефицит железа, для третьего – дефицит кислорода), для оксида никеля NiO характерен дефицит металла [10]. Не исключено, что в аномальной области для представленных оксидов состав наиболее близок к стехиометрическому.

ВЫВОДЫ

1. Магнетронным способом напыления, получены тонкие пленки разбавленных твердых растворов Fe-Ni, Ni-Fe на поверхности монокристаллического кремния, характеризующиеся высокой степенью адгезии к подложке.

2. Изучен фазовый состав окисленных железо-никелевых пленок. Показано, что при окислении твердого раствора Fe-Ni преимущественно образуется оксид железа состава Fe_2O_3 , а при окислении Ni-Fe наряду с оксидами железа образуются NiFe_3 и NiFe , а также оксиды никеля NiO и Ni_2O_3 .

3. При концентрации никеля (система Fe-Ni) в области 1ат.% скорость оксидирования заметно снижается, о чем свидетельствует появление локального минимума на кривой зависимости толщины оксидной пленки от концентрации никеля. В случае окисления Ni-Fe ситуация диаметрально противоположная: наблюдается максимум на аналогичной зависимости состав-свойство, при содержании железа около 1ат.%. аномальное поведение вблизи чистого компонента наблюдается и на других зависимостях состав (концентрация примеси)-свойство (оптические параметры, энергия активации).

4. Изменение скорости окисления хорошо согласуется с моделью окисления по вакансационному механизму, а наличие экстремумов связано с образованием более совершенного по составу оксида.

СПИСОК ЛИТЕРАТУРЫ

1. Соколовская Е.М., Казакова Е.Ф. Роль диаграмм состояния в современном материаловедении // Металлы, №6, 1992, с.169-174.

2. Ховив В.Н., Гончаров Е.Г., Удодова Е.Н. Оксидирование тонких пленок твердых растворов медь-никель // Конденсированные среды и межфазные границы, т.3. №2. 2001.с.161-163.

ОСОБЕННОСТИ СВОЙСТВ ТОНКИХ ПЛЕНОК РАЗБАВЛЕННЫХ ТВЕРДЫХ РАСТВОРОВ НА ОСНОВЕ ...

3. Ховив А.М., Гончаров Е.Г., Ховив В.Н., Назаренко И.Н., Удодова Е.Н. Оксидирование тонких пленок никеля и твердых растворов медь-никель // Поверхность. 2002. №3. С.11-16.
4. Технология полупроводниковых приборов и изделий микроэлектроники. В 10 кн.: Учеб. пособие. Кн. 6. Нанесение пленок в вакууме / В.Е. Минайчев. – М.: Высш. шк., 1989. 110с.
5. Данилин Б.С., Сырчин В.К. Магнетронные распылительные системы. М.: Радио и связь. 1982. 72с.
6. Пиценицын В.И., Абаев М.И., Лызлов Н.Ю. Эллипсометрия в физико-химических исследованиях. Л.: Химия, 1986. 152с.
7. Азам Р., Башара Н. Эллипсометрия и поляризованный свет. М.: Мир. 1981. 583с.
8. Назаренко И.Н., Дорофеев Д.Л. Решение обратной задачи эллипсометрии для слоя с изменяющимся по толщине комплексным показателем преломления // Вестник ВГУ, сер. Химия–Биология, 2001. №1, С. 137-143.
9. О. Кубашевский, Б. Гопкинс Окисление металлов и сплавов. М.: Металлургия, 1965. 428с.
10. П. Кофстад Отклонение от стехиометрии, диффузия и электропроводность в простых окислах металлов. М.: Мир, 1975, 400с.